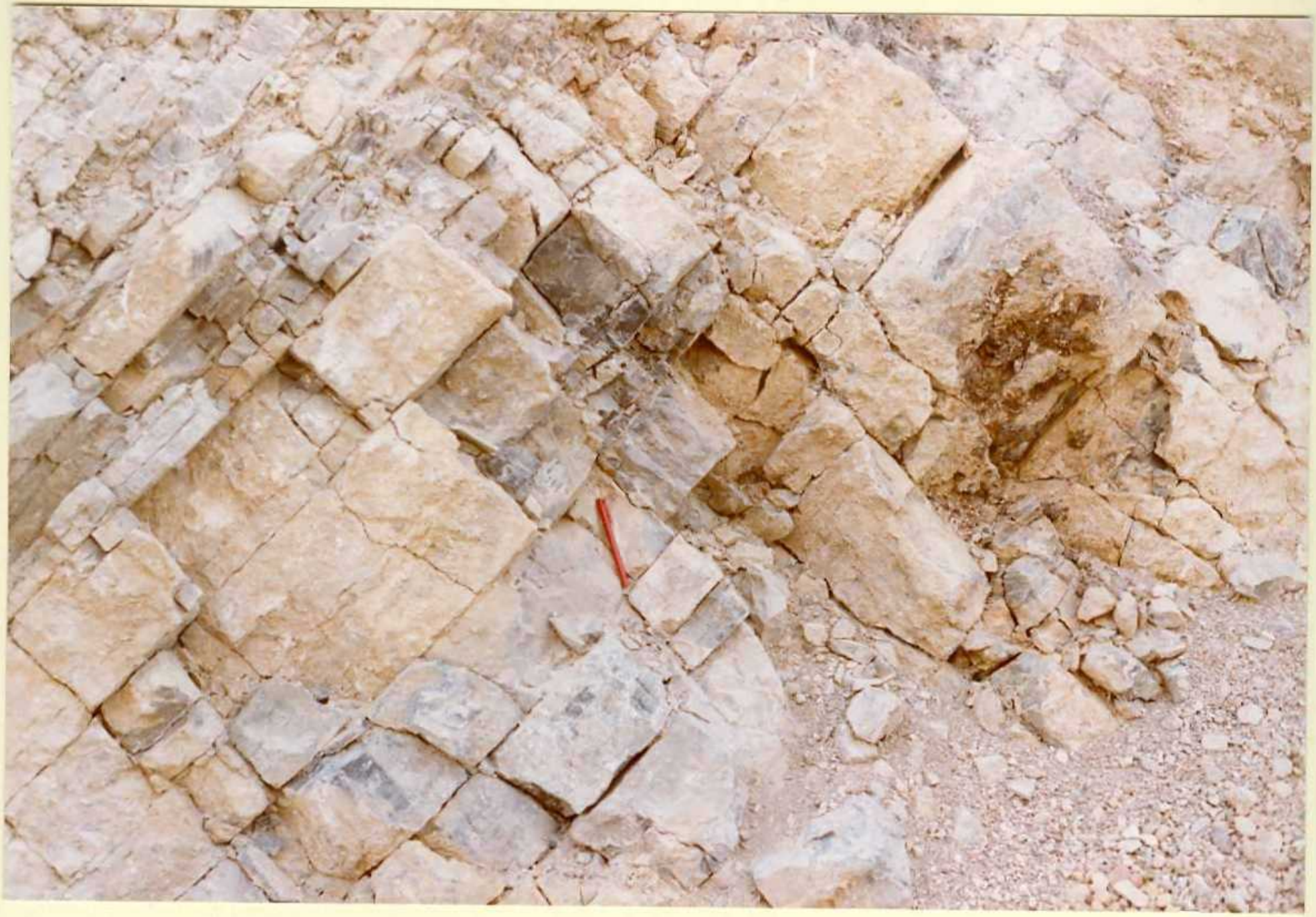


F. 9082 Dolomías tableadas negras del Muschelkalk (Unidad 1).



F. 9083 Detalle de la foto anterior.



F. 9084 Aspecto de los yesos del Keuper (Unidad 2).



F. 9085 Calizas y arcillas (unidad 9) en el desagüe de la Laguna de la Janda.



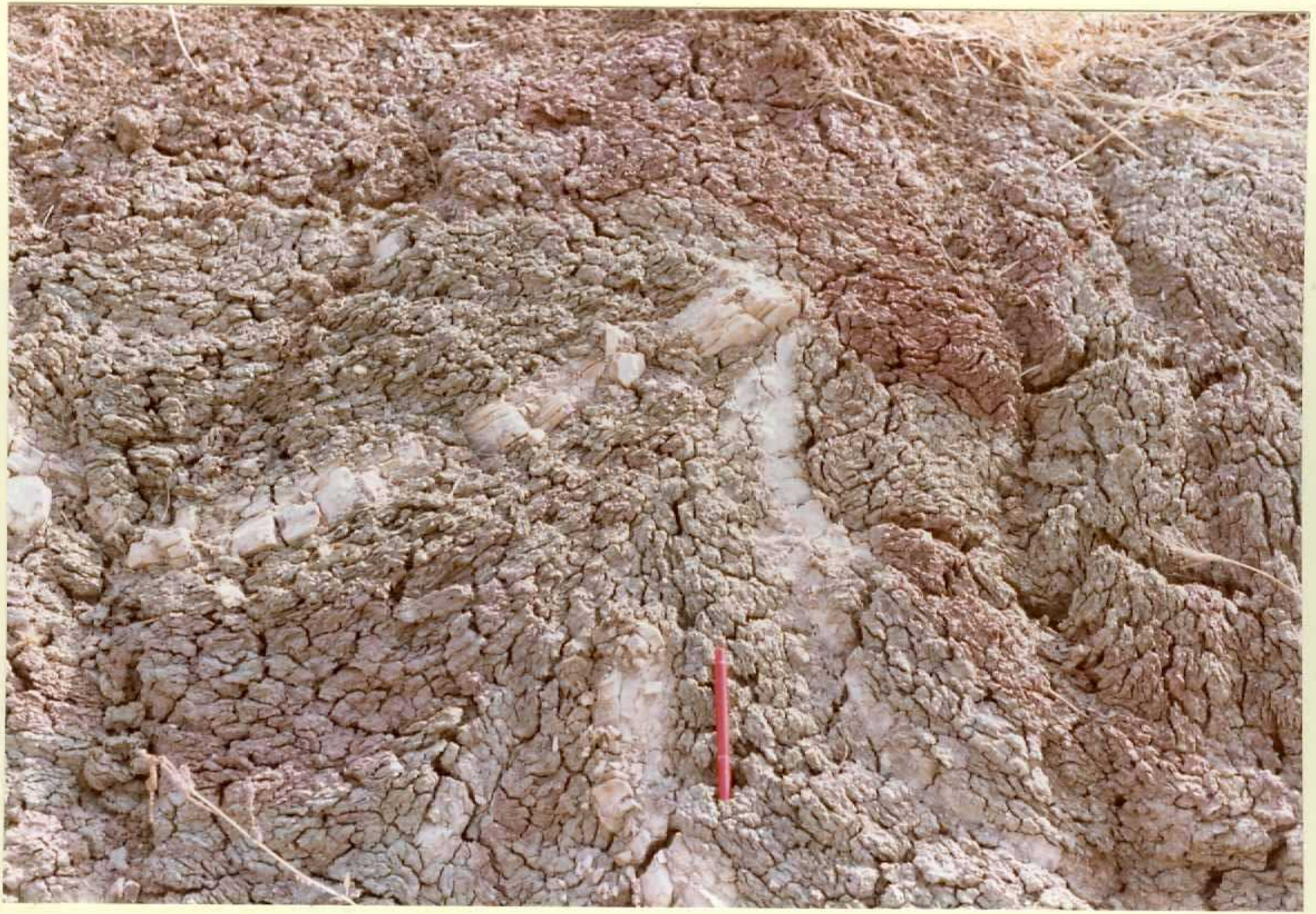
F. 9086 Detalle de la foto anterior.



F. 9087 Aspecto de las arcillas con Tubotomaculum.



F. 9088 Nivel carbonatado incluido en las arcillas con Tubotomaculum.



F. 9089 Arcillas con Tubotomaculum en la carretera a Naveros.



F. 9090 Niveles limolíticos ferruginosos incluidos en las arcillas con Tubotomaculum.



F. 9091 Nódulos de azufre entre arcillas con Tubotomaculum.



F. 9092 Traza fósil de crustáceos decapados (Tubotomaculum).



F. 9093 Nivel turbidítico convolutado incluido dentro de las arcillas con Tubotomaculum en el desagüe de la Laguna de la Janda.



F. 9094 El mismo nivel anterior en las cercanías del Puerto de Medina.



F. 9095 Niveles calcáreos bioclásticos del Oligoceno en el Cerro de la Lapa.



F. 9096 "Flutes" en los niveles calcáreos de la foto anterior.



F. 9097 Areniscas del Aljibe incluidas entre arcillas con "Tubotomaculum".



F. 9098 Calizas arenosas con "Microdium" incluidas entre las arcillas con Tubotomaculum.



F. 9099 Margas tortonienses en las cercanías de Conil.



F. 9100 Barras biocalcarenitas entre margas del Mioceno superior en Vejer



F. 9101 Aspecto de las barras biocalcarenitas en Conil.



F. 9102 Trazas fósiles en la playa de la Fontanilla.



F. 9103 Trazas fósiles de Equinidos en Conil.



F. 9104 Brechas calcáreas en la base de las biocalcarenitas del Mioceno superior-Plioceno.



F. 9105 Detalle de la foto anterior.



F. 9106 Set de estratificación cruzada del Mioceno superior en Vejer.



F. 9107 Sigmoides en el Mioceno superior de Vejer.



F. 9108 Detalles de los sigmoides.



F. 9109 Barras biocláticas en Vejer.



F. 9110 Aspecto general de esta unidad.



F. 9111 Alteración de las biocalcarenitas del Mioceno superior-Plioceno en el sinclinal de la Muela.



F. 9112 Nivel margoso del Plioceno medio en el Cerro de la Sierra de Granada.



F. 9113 Lumaquela del Plioceno superior en el Puntalejo.



F. 9114 Nivel de "algal balls" en el Puntalejo.



F. 9115 Contacto entre las arenas rojas y el abanico del Cuaternario Km. 39 carretera Cádiz-Málaga.



F. 9116 Falla inversa cuaternaria en el Km. 39,5 de la carretera nacional de Cádiz a Málaga.



F. 9117 Detalle de la foto anterior.



F. 9118 Plataforma marina correspondiente al Plioceno superior. Cabo Roche.



F. 9119 Karst desarrollado sobre los materiales marinos del Plioceno superior. Playa del Ayº Campamento



F. 9120 Karst cuaternario que afecta a los materiales del Plioceno medio. Cabo Roche-Torre del Puerco.



F. 9121 Fallas normales N15ºE e inversas N160º - 170ºE afectando a los depósitos del Plioceno superior.



F. 9122 Arenas del Plio - Pleistoceno sobre las que se desarrolla un suelo rojo. Km. 38 carretera Cádiz-Algeciras.



F. 9123 Conglomerado marino correspondiente a la línea de costa (+ 20 m.) del Cuaternario antiguo-medio



F. 9124 Detalle de la terraza marina del Cuaternario antiguo-medio. Torre del Tajo



F. 9125 Plataforma marina Ouljiense, + 3,5 m. Playa de Barbate.



F. 9126 Detalle de la terraza marina anterior. Playa de Barbate.



F. 9127 Detalle de las dunas cementadas que cierran el ciclo Ouljiense. Playa de Barbate.



F. 9128 Tómbolo de Trafalgar, El faro se sitúa sobre las dunas regresionales del ciclo Ouljiense.



F.9129 Plataforma actual labrada sobre los materiales marinos del ciclo Ouljiense, + 4 m. Cabo de Trafalgar.



F. 9130 Detalle de las dunas cementadas. Cabo de Trafalgar.



F. 9131 Nivel marino Ouljiense, + 2 m. Torre del Puerco



F. 9132 Detalle del depósito Ouljiense de Torre del Puerco.



F. 9133 Nivel marino correspondiente al "Episodio de Trafalgar. El Palmar.



F. 9134 Nivel Holoceno, + 3 m. de El Palmar, sobre el mismo se desarrollan suelos con carácter vértico.